

一种新的机器人模型及其控制算法¹⁾

霍伟 高为炳 程勉

(北京航空航天大学第七研究室 北京 100083)

摘 要

机器人模型通常写为 $H(q)\ddot{q} + C(q, \dot{q})\dot{q} + G(q) = \tau$, 其中可适当定义矩阵 $C(q, \dot{q})$ 使得 $\dot{H} - 2C$ 是反对称阵, 这一性质对机器人控制设计十分有用. 目前文献中认为这样的 C 是唯一确定的. 本文采用数学力学工具 Spatial Notation 推导出一种新形式的机器人模型, 证明了上述 C 并非唯一确定的. 文中还以 Slotine, Li 的著名自适应控制方案为例说明, 若用本文的新模型替换传统模型, 将会设计出实时计算量少得多的控制算法.

关键词: 机器人动力学, 机器人控制, 实时控制算法.

1. 引言

不接触环境的 n 自由度机器人模型常写为^[1]

$$H(q)\ddot{q} + C(q, \dot{q})\dot{q} + G(q) = \tau, \quad (1)$$

式中 $q = [q_1, \dots, q_n]^T$ 为关节变量; $H(q) = [h_{ij}]$ 为惯性矩阵; $C(q, \dot{q})\dot{q}$ 为离心力与哥氏力向量; $G(q)$ 反映重力的影响; $\tau = [\tau_1, \dots, \tau_n]^T$ 为加在关节轴上的力(矩).

众所周知, 机器人模型(1)中 $C(q, \dot{q})$ 的表达式不是唯一确定的. 通过适当定义 C , 可使 $\dot{H} - 2C$ 是反对称阵. 这一性质对简化机器人控制策略的设计和分析极为有用. 然而长期以来, 在模型(1)中满足 $\dot{H} - 2C$ 是反对称阵的 C 都是按下式定义的:

$$C(q, \dot{q}) = [c_{ij}(q, \dot{q})], \quad c_{ij}(q, \dot{q}) = \sum_{k=1}^n c_{ijk}(q)\dot{q}_k, \quad (2)$$
$$c_{ijk}(q) = \frac{1}{2} \left(\frac{\partial h_{ij}}{\partial q_k} + \frac{\partial h_{ik}}{\partial q_j} - \frac{\partial h_{jk}}{\partial q_i} \right).$$

这就使许多人发生一种误解, 认为满足 $\dot{H} - 2C$ 是反对称阵的 C 是由(2)式唯一确定的^[2].

本文通过构造新的 C 证明了: 当机器人自由度 $n > 2$ 时, 满足 $\dot{H} - 2C$ 是反对称阵的 C 不是由(2)式唯一确定的. 这一方面纠正了关于机器人模型的一个错误概念, 另一方

本文于1991年11月6日收到.

1) 航空科研基金及教委高校博士点基金资助项目, 本文曾在1991年全国控制理论及应用年会上宣读.

面也构造出一个与传统模型(1),(2)不同的新模型。文中还以 Slotine, Li 的著名控制方案为例说明,若用新模型替代传统模型,可导出比现今算法的计算量少得多的递推控制算法。

2、预备知识——Spatial Notation

自由刚体有 3 个移动和 3 个转动自由度, Featherstone 引入的 Spatial Notation 用一个量统一地表示刚体的移动和转动^[3]。一 spatial 向量 $\mathbf{r} = [\mathbf{r}^T, \mathbf{r}_o^T]^T$, 其中 3 维向量 \mathbf{r} 与参考点 O 的选取无关; 而 3 维向量 \mathbf{r}_o 与 O 点选择有关, 当参考点由 O 变为 P 时, \mathbf{r}_o 变为 $\mathbf{r}_p = \mathbf{r}_o + \overrightarrow{PO} \times \mathbf{r}$ 。一刚体的 spatial 速度定义为 $\mathbf{v} = [\boldsymbol{\omega}^T, \mathbf{v}_o^T]^T$, 其中 $\boldsymbol{\omega}$ 为刚体角速度, \mathbf{v}_o 为将参考点 O 视为与刚体固连时的速度。一力系可用一 spatial 力 $\mathbf{f} = [f^T, \mathbf{n}_o^T]^T$ 表示, 其中 f 为力系主矢, \mathbf{n}_o 为力系对 O 点的主矩。由力学知识知 \mathbf{v} 和 \mathbf{f} 是 spatial 向量。

定义 spatial 向量 \mathbf{a} 的 spatial 转置 \mathbf{a}' , 6×6 矩阵 A 的 spatial 转置 A' 分别为

$$\mathbf{a} = \begin{bmatrix} \mathbf{a} \\ a_o \end{bmatrix}, \quad \mathbf{a}' = [a_o^T, \mathbf{a}^T]; \quad A = \begin{bmatrix} A_1 & A_2 \\ A_3 & A_4 \end{bmatrix}, \quad A' = \begin{bmatrix} A_4^T & A_2^T \\ A_3^T & A_1^T \end{bmatrix};$$

式中 $A_i (i = 1, \dots, 4)$ 均为 3×3 阵。若 A 满足 $A' = A$, 则称 A 为 spatial 对称阵。两 spatial 向量 $\mathbf{a} = [a^T, a_o^T]^T$ 和 $\mathbf{b} = [b^T, b_o^T]^T$ 的点积和叉积分别定义为

$$\mathbf{a} \cdot \mathbf{b} = \mathbf{a}' \mathbf{b} = a_o^T b + a^T b_o; \quad \mathbf{a} \times \mathbf{b} = [(a \times b)^T, (a_o \times b + a \times b_o)^T]^T.$$

在上述定义下, spatial 向量及其与 6×6 矩阵间的运算在形式上与通常的向量和矩阵运算规则完全一致。例如对任意 spatial 向量 $\mathbf{a}, \mathbf{b}, \mathbf{c}$ 和 6×6 矩阵 A 有

$$\mathbf{a}' \mathbf{b} = \mathbf{b}' \mathbf{a}, \quad (A\mathbf{a})' = \mathbf{a}' A', \quad \mathbf{a} \times \mathbf{b} = -\mathbf{b} \times \mathbf{a}, \quad \mathbf{a}' (\mathbf{b} \times \mathbf{c}) = \mathbf{b}' (\mathbf{c} \times \mathbf{a}).$$

研究 n 个杆的不接触环境的机器人。记基座为杆 0, 单自由度关节 i 连接杆 $i-1$ 和杆 i 。取与杆 0 固连坐标系的原点为参考点, 机器人方程可用 Spatial Notation 写为^[4]

$$\mathbf{v}_i = \mathbf{v}_{i-1} + \mathbf{d}_i \dot{q}_i, (\mathbf{v}_0 = 0); \quad \mathbf{a}_i = \mathbf{a}_{i-1} + \mathbf{d}_i \ddot{q}_i + \mathbf{v}_i \times \mathbf{d}_i \dot{q}_i, (\mathbf{a}_0 = -\mathbf{g}); \quad (3)$$

$$\mathbf{f}_i = \mathbf{I}_i \mathbf{a}_i + \mathbf{v}_i \times \mathbf{I}_i \mathbf{v}_i + \mathbf{f}_{i+1}, (\mathbf{f}_{n+1} = 0); \quad \tau_i = \mathbf{d}_i' \mathbf{f}_i. \quad (4)$$

式中 \mathbf{v}_i 为杆 i 的 spatial 速度; \mathbf{d}_i 为描述关节 i 轴向上的单位 spatial 向量; $\mathbf{a}_i = \dot{\mathbf{v}}_i - \mathbf{g}$, \mathbf{g} 为 spatial 重力向量; \mathbf{f}_i 为杆 $i-1$ 作用于杆 i 的 spatial 力; \mathbf{I}_i 为杆 i 的 spatial 惯性张量, 它是一 spatial 对称阵。

3、新模型的推导

由(3)式知

$$\mathbf{v}_k = \sum_{j=1}^k \mathbf{d}_j \dot{q}_j, \quad \mathbf{a}_k = \sum_{j=1}^k \mathbf{d}_j \ddot{q}_j + \sum_{j=1}^k \mathbf{v}_j \times \mathbf{d}_j \dot{q}_j - \mathbf{g}. \quad (5)$$

再由(4)式可得

$$\tau_i = \mathbf{d}_i' \sum_{k=i}^n (\mathbf{I}_k \mathbf{a}_k + \mathbf{v}_k \times \mathbf{I}_k \mathbf{v}_k)$$

$$\begin{aligned}
&= \mathbf{d}'_i \left\{ \sum_{k=i}^n \sum_{j=1}^k \mathbf{I}_k \mathbf{d}_j \ddot{q}_j + \sum_{k=i}^n \sum_{j=1}^k [\mathbf{I}_k (\mathbf{v}_j \times \mathbf{d}_j) + \mathbf{v}_k \times \mathbf{I}_k \mathbf{d}_j] \dot{q}_j - \sum_{k=i}^n \mathbf{I}_k \mathbf{g} \right\} \\
&= \sum_{j=1}^n \mathbf{I}_{ij}^c \mathbf{d}_j \ddot{q}_j + \sum_{j=1}^n \mathbf{d}'_i \sum_{k=\max\{i,j\}}^n [\mathbf{I}_k (\mathbf{v}_j \times \mathbf{d}_j) + \mathbf{v}_k \times \mathbf{I}_k \mathbf{d}_j] \dot{q}_j - \mathbf{d}'_i \mathbf{I}_{ii}^c \mathbf{g}, \quad (6)
\end{aligned}$$

式中

$$\mathbf{I}_{ij}^c = \sum_{k=\max\{i,j\}}^n \mathbf{I}_k. \quad (7)$$

定义

$$\mathbf{H} = [h_{ij}], \quad h_{ij} = \mathbf{d}'_i \mathbf{I}_{ij}^c \mathbf{d}_j; \quad \mathbf{G} = [g_1, \dots, g_n]^T, \quad g_i = \mathbf{d}'_i \mathbf{I}_{ii}^c \mathbf{g}; \quad (8)$$

$$\mathbf{C}^* = [c_{ij}^*], \quad c_{ij}^* = \mathbf{d}'_i \sum_{k=\max\{i,j\}}^n [\mathbf{I}_k (\mathbf{v}_j \times \mathbf{d}_j) + \mathbf{v}_k \times \mathbf{I}_k \mathbf{d}_j], \quad (9)$$

则由(6)式可得以下机器人动力学模型:

$$\mathbf{H}(\mathbf{q}) \ddot{\mathbf{q}} + \mathbf{C}^*(\mathbf{q}, \dot{\mathbf{q}}) \dot{\mathbf{q}} + \mathbf{G}(\mathbf{q}) = \boldsymbol{\tau}. \quad (10)$$

对本文导出的模型(10),可证明以下两命题.

命题 1. 当 $n > 2$ 时, $\mathbf{C}^* \neq \mathbf{C}$.

证明. 文献[5]中已证明了,用(8)式中 h_{ij} 的表达式和(2)式可算出:

$$c_{ij} = \mathbf{d}'_i \sum_{k=\max\{i,j\}}^n \left\{ \mathbf{I}_k (\mathbf{v}_j \times \mathbf{d}_j) + \frac{1}{2} [\mathbf{v}_k \times \mathbf{I}_k \mathbf{d}_j + \mathbf{d}_j \times \mathbf{I}_k \mathbf{v}_k + \mathbf{I}_k (\mathbf{d}_j \times \mathbf{v}_k)] \right\}. \quad (11)$$

再利用(7)及(5)式得

$$\begin{aligned}
c_{ij} &= \mathbf{d}'_i \mathbf{I}_{ij}^c \left[\left(\sum_{t=1}^j \mathbf{d}_t \dot{q}_t \right) \times \mathbf{d}_j \right] + \frac{1}{2} \sum_{k=\max\{i,j\}}^n \mathbf{d}'_i \left\{ \left(\sum_{t=1}^k \mathbf{d}_t \dot{q}_t \right) \times \mathbf{I}_k \mathbf{d}_j \right. \\
&\quad \left. + \mathbf{d}_j \times \mathbf{I}_k \left(\sum_{t=1}^k \mathbf{d}_t \dot{q}_t \right) + \mathbf{I}_k \left[\mathbf{d}_j \times \left(\sum_{t=1}^k \mathbf{d}_t \dot{q}_t \right) \right] \right\} \\
&= \sum_{t=1}^j \mathbf{d}'_i \mathbf{I}_{ij}^c (\mathbf{d}_t \times \mathbf{d}_j) \dot{q}_t + \frac{1}{2} \sum_{t=1}^n \left\{ \mathbf{d}'_i \left[\mathbf{d}_t \times \left(\sum_{k=\max\{i,j,t\}}^n \mathbf{I}_k \right) \mathbf{d}_j \right] \right. \\
&\quad \left. + \mathbf{d}'_i \left[\mathbf{d}_j \times \left(\sum_{k=\max\{i,j,t\}}^n \mathbf{I}_k \right) \mathbf{d}_t \right] + \mathbf{d}'_i \left(\sum_{k=\max\{i,j,t\}}^n \mathbf{I}_k \right) (\mathbf{d}_j \times \mathbf{d}_t) \right\} \dot{q}_t \\
&= \sum_{t=1}^j \frac{1}{2} [\mathbf{d}'_i \mathbf{I}_{ij}^c (\mathbf{d}_t \times \mathbf{d}_j) + \mathbf{d}'_i (\mathbf{d}_t \times \mathbf{I}_{ij}^c \mathbf{d}_j) + \mathbf{d}'_i (\mathbf{d}_j \times \mathbf{I}_{ij}^c \mathbf{d}_t)] \dot{q}_t \\
&\quad + \sum_{t=j+1}^n \frac{1}{2} [\mathbf{d}'_i (\mathbf{d}_t \times \mathbf{I}_{ii}^c \mathbf{d}_j) + \mathbf{d}'_i (\mathbf{d}_j \times \mathbf{I}_{ii}^c \mathbf{d}_t) + \mathbf{d}'_i \mathbf{I}_{ii}^c (\mathbf{d}_j \times \mathbf{d}_t)] \dot{q}_t \\
&= \sum_{k=1}^n c_{ijk} \dot{q}_k, \quad (12)
\end{aligned}$$

式中

$$c_{ijk} = \begin{cases} \frac{1}{2} [d'_i(d_j \times I_{ij}^c d_k) + d'_i(d_k \times I_{ij}^c d_j) + d'_k(d_j \times I_{ij}^c d_i)] & \text{当 } k \leq j, \\ \frac{1}{2} [d'_i(d_j \times I_{ik}^c d_k) + d'_i(d_k \times I_{ik}^c d_j) + d'_j(d_k \times I_{ik}^c d_i)] & \text{当 } k > j. \end{cases} \quad (13)$$

另一方面,由(9),(5)及(7)式可得

$$\begin{aligned} c_{ij}^* &= d'_i \sum_{k=\max(i,j)}^n \left\{ I_k \left[\left(\sum_{t=1}^i d_t \dot{q}_t \right) \times d_j \right] + \left(\sum_{t=1}^k d_t \dot{q}_t \right) \times I_k d_j \right\} \\ &= d'_i \sum_{t=1}^i \sum_{k=\max(i,j)}^n I_k (d_t \times d_j) \dot{q}_t + d'_i \sum_{t=1}^n \sum_{k=\max(i,j,t)}^n (d_t \times I_k d_j) \dot{q}_t \\ &= \sum_{t=1}^i [d'_i I_{ij}^c (d_t \times d_j) + d'_i (d_t \times I_{ij}^c d_j)] \dot{q}_t + \sum_{t=j+1}^n d'_i (d_t \times I_{ii}^c d_j) \dot{q}_t \\ &\triangleq \sum_{k=1}^n c_{ijk}^* \dot{q}_k, \end{aligned} \quad (14)$$

式中

$$c_{ijk}^* = \begin{cases} d'_i (d_k \times I_{ij}^c d_j) + d'_k (d_j \times I_{ij}^c d_i) & \text{当 } k \leq j, \\ d'_i (d_k \times I_{ik}^c d_j) & \text{当 } k > j. \end{cases} \quad (15)$$

用(13)和(15)式很容易验证:

$$c_{ijk}^* \begin{cases} \neq c_{ijk} & \text{当 } i, j, k \text{ 取彼此不同数值时,} \\ \equiv c_{ijk} & \text{当 } i, j, k \text{ 中有相同者.} \end{cases} \quad (16)$$

显然,若 $n > 2$, (16) 式中 i, j, k 可以取不同数值,故由(16),(12),(14)式及 \dot{q} 各分量的独立性知,这时对所有 $i \neq j$ 均有 $c_{ij}^* \neq c_{ji}$. 这表明 $n > 2$ 时 $C^* \neq C$. 证毕.

命题 2. $\dot{H} - 2C^*$ 是反对称阵.

证明. 由(11)及(9)式知:

$$\begin{aligned} c_{ij} + c_{ji} &= d'_i \sum_{k=\max(i,j)}^n \left\{ I_k (v_j \times d_j) + \frac{1}{2} [v_k \times I_k d_j + d_j \times I_k v_k + I_k (d_j \times v_k)] \right\} \\ &\quad + d'_j \sum_{k=\max(i,j)}^n \left\{ I_k (v_i \times d_i) + \frac{1}{2} [v_k \times I_k d_i + d_i \times I_k v_k + I_k (d_i \times v_k)] \right\} \\ &= \sum_{k=\max(i,j)}^n \left[d'_i I_k (v_j \times d_j) + \frac{1}{2} d'_i (v_k \times I_k d_j) + \frac{1}{2} d'_i (d_j \times I_k v_k) \right. \\ &\quad \left. + \frac{1}{2} d'_j (v_k \times I_k d_i) + d'_j I_k (v_i \times d_i) + \frac{1}{2} d'_j (v_k \times I_k d_i) \right. \\ &\quad \left. - \frac{1}{2} d'_i (d_j \times I_k v_k) + \frac{1}{2} d'_i (v_k \times I_k d_j) \right] \\ &= d'_i \sum_{k=\max(i,j)}^n [I_k (v_j \times d_j) + (v_k \times I_k d_j)] \\ &\quad + d'_j \sum_{k=\max(i,j)}^n [I_k (v_i \times d_i) + (v_k \times I_k d_i)] \\ &= c_{ij}^* + c_{ji}^*, \end{aligned}$$

故 $c_{ij} - c_{ij}^* = -(c_{ji} - c_{ji}^*)$. 因此若定义 $b_{ij} = c_{ij} - c_{ij}^*$, 则 $B = [b_{ij}] \triangleq C - C^*$ 是反对称阵. 因 $\dot{H} - 2C$ 是反对称阵, 而 $\dot{H} - 2C^* = 2(C - C^*) + (\dot{H} - 2C) = 2B + (\dot{H} - 2C)$ 是两反对称阵之和, 故它也必为反对称阵. 证毕.

命题 1, 2 表明: 1) 当 $n > 2$ 时, 在形如(1)式的模型中, 满足 $\dot{H} - 2C$ 是反对称阵的 C 不是由(2)式唯一确定的. 这就纠正了某些人关于机器人模型的一个错误概念; 2) 因 $C^* \neq C$, 故本文实际上是构造出一个有别于传统模型(1), (2)的新模型, 且此新模型保持了传统模型最有用的性质—— $\dot{H} - 2C^*$ 是反对称阵.

4、采用新模型的控制算法

若记杆 i 质量为 m_i , 杆 i 质心在与杆 i 固连的坐标系 i 中的矢径为 c_i , 杆 i 对坐标系 i 原点的惯性张量在系 i 中表达式为 J_i , 则称常值 $m_i, m_i c_i$ 的三个分量及 J_i 中 6 个独立分量为杆 i 的惯性参数, 记为 $a_i = [a_1^i, \dots, a_{10}^i]^T$. 按此定义, 机器人杆 i 的 spatial 惯性张量 I_i 是其惯性参数 a_i 的线性函数, 即有

$$I_i = \sum_{j=1}^{10} R_j a_j^i. \quad (17)$$

而整个机器人的惯性参数用 $10n$ 维向量 $a = [a_1^T, \dots, a_n^T]^T$ 来表示.

1987 年 Slotine, Li 研究了惯性参数 a 未知时控制机器人跟踪轨迹 $q_d(t)$ 的问题, 基于模型(1), (2)设计出一自适应控制方案^[4]. 其控制规律为

$$\tau = \hat{H}(q)\ddot{q}_r + \hat{C}(q, \dot{q})\dot{q}_r + \hat{G}(q) - K_d s; \quad (18)$$

式中 $\hat{H}, \hat{C}, \hat{G}$ 为用惯性参数 a 的当前估计值 \hat{a} 得到的 H, C, G 的估计值; $s \triangleq \dot{q} - \dot{q}_r$; $\dot{q}_r \triangleq \dot{q}_d - K_p(q - q_d)$; K_p 和 K_d 均为正定阵(常取为对角阵). 其参数估计规律为

$$\dot{\hat{a}} = -PY^T(q, \dot{q}, \dot{q}_r, \ddot{q}_r)s, \quad (19)$$

式中 P 为正定阵(常取为对角阵), $Y(q, \dot{q}, \dot{q}_r, \ddot{q}_r)$ 满足

$$\hat{H}(q)\ddot{q}_r + \hat{C}(q, \dot{q})\dot{q}_r + \hat{G}(q) = Y(q, \dot{q}, \dot{q}_r, \ddot{q}_r)\hat{a}. \quad (20)$$

为实现实时控制, 需要找到计算控制规律(18)式和参数估计规律(19)式的有效算法. 1988 年 Niemeyer, Slotine 找到以下计算(18)和(19)式的递推算法^[5].

控制算法:

$$v_i = v_{i-1} + d_i \dot{q}_i, \quad (v_0 = 0); \quad u_i = u_{i-1} + d_i \dot{q}_i', \quad (u_0 = 0); \quad (21)$$

$$w_i = w_{i-1} + d_i \ddot{q}_i' + v_i \times d_i \dot{q}_i', \quad (w_0 = -g); \quad (22)$$

$$\hat{f}_i = \hat{I}_i w_i + \frac{1}{2} [(v_i \times \hat{I}_i u_i + u_i \times \hat{I}_i v_i + \hat{I}_i (u_i \times v_i))] + \hat{f}_{i+1}, \quad (\hat{f}_{n+1} = 0); \quad (23)$$

$$\tau_i = d_i' \hat{f}_i - k_i s_i; \quad (24)$$

式中 $q_r = [q_1^r, \dots, q_n^r]^T$, $K_d = \text{diag}[k_1, \dots, k_n]$, $s = [s_1, \dots, s_n]^T$.

参数估计算法:

$$e_i = v_i - u_i; \quad (25)$$

$$\hat{f}_i^i = R_j w_i + \frac{1}{2} [(v_i \times R_j u_i + u_i \times R_j v_i + R_j (u_i \times v_i))]; \quad (26)$$

$$\dot{a}_j^i = -p_j^i e_i^j \hat{f}_j^i; \quad (27)$$

式中 p_j^i 是对角阵 P 中第 $10(i-1)+j$ 个对角元。

以下我们将证明: 若在上述自适应控制方案中用本文提出的新模型(10)替代传统模型, 则用与文献 [1,5] 中完全相同的推导方法会得出比(21)~(27)式计算量少得多的算法。

首先, 因为自适应控制规律(18),(19)是依据机器人模型(1),(2)满足 $\dot{H} - 2C$ 是反对称阵及机器人动态特性与惯性参数 α 间的线性关系而导出的^[1]。对新模型(10), 由命题 2 知 $\dot{H} - 2C^*$ 是反对称阵, 又由(8),(9)及(17)式知 $H(q)\ddot{q} + C^*(q, \dot{q})\dot{q} + G(q)$ 也是惯性参数 α 的线性函数, 即存在矩阵 $Y^*(q, \dot{q}, \ddot{q})$ 满足

$$H(q)\ddot{q} + C^*(q, \dot{q})\dot{q} + G(q) = Y^*(q, \dot{q}, \ddot{q})\alpha. \quad (28)$$

因此如果从新模型(10)出发, 用与文献[1]完全相同的方法可导出以下自适应控制方案,

$$\text{控制规律: } \tau = \dot{H}(q)\dot{q}_r + \hat{C}^*(q, \dot{q})\dot{q}_r + \hat{G}(q) - K_d s; \quad (29)$$

$$\text{参数估计规律: } \dot{\hat{a}} = -PY^{*T}(q, \dot{q}, \dot{q}_r, \ddot{q}_r)s; \quad (30)$$

式中 \hat{C}^* 是 C^* 的当前估计值, Y^* 由(28)式所定义。

若记惯性参数 a_i^k 的当前估计值为 \hat{a}_i^k , spatial 惯性张量 I_k 的当前估计值为 $\hat{I}_k = \sum_{i=1}^{10} R_i \hat{a}_i^k$, 则利用(29)及(7)~(9)式可得到

$$\begin{aligned} \tau_i &= \sum_{j=1}^n \hat{h}_{ij} \ddot{q}_j^r + \sum_{j=1}^n \hat{c}_{ij} \dot{q}_j^r + \hat{g}_i - k_i s_i \\ &= \sum_{j=1}^n d_j^i \sum_{k=\max(i,j)}^n \hat{I}_k d_j^k \ddot{q}_j^r + \sum_{j=1}^n d_j^i \sum_{k=\max(i,j)}^n [\hat{I}_k (v_j \times d_j) \\ &\quad + v_k \times \hat{I}_k d_j] \dot{q}_j^r - d_j^i \sum_{k=i}^n \hat{I}_k g - k_i s_i \\ &= d_j^i \sum_{k=i}^n \sum_{j=1}^k \hat{I}_k d_j^k \ddot{q}_j^r + d_j^i \sum_{k=i}^n \sum_{j=1}^k [\hat{I}_k (v_j \times d_j) \\ &\quad + v_k \times \hat{I}_k d_j] \dot{q}_j^r - d_j^i \sum_{k=i}^n \hat{I}_k g - k_i s_i \\ &= d_j^i \sum_{k=i}^n \left\{ \hat{I}_k \left[\sum_{j=1}^k (d_j^k \ddot{q}_j^r + v_j \times d_j^k \dot{q}_j^r) - g \right] \right. \\ &\quad \left. + \left[v_k \times \hat{I}_k \left(\sum_{j=1}^k d_j^k \dot{q}_j^r \right) \right] \right\} - k_i s_i. \end{aligned} \quad (31)$$

定义

$$\begin{aligned} u_k &= \sum_{j=1}^k d_j^k \ddot{q}_j^r, w_k = \sum_{j=1}^k (d_j^k \dot{q}_j^r + v_j \times d_j^k \dot{q}_j^r) - g, \\ \hat{f}_i &= \sum_{k=i}^n \{ \hat{I}_k w_k + v_k \times \hat{I}_k u_k \}, \end{aligned} \quad (32)$$

代入(31)式后得到

$$\tau_i = \mathbf{d}'_i \sum_{k=i}^n \{ \hat{\mathbf{I}}_k \mathbf{w}_k + \mathbf{v}_k \times \hat{\mathbf{I}}_k \mathbf{u}_k \} - k_i s_i = \mathbf{d}'_i \hat{\mathbf{f}}_i - k_i s_i. \quad (33)$$

再由(3),(32),(33)式立即可得出计算控制规律(29)式的递推算法如下:

$$\mathbf{v}_i = \mathbf{v}_{i-1} + \mathbf{d}_i \dot{\mathbf{q}}_i, \quad (\mathbf{v}_0 = 0); \quad \mathbf{u}_i = \mathbf{u}_{i-1} + \mathbf{d}_i \dot{\mathbf{q}}'_i, \quad (\mathbf{u}_0 = 0); \quad (34)$$

$$\mathbf{w}_i = \mathbf{w}_{i-1} + \mathbf{d}_i \ddot{\mathbf{q}}'_i + \mathbf{v}_i \times \mathbf{d}_i \dot{\mathbf{q}}'_i, \quad (\mathbf{w}_0 = -\mathbf{g}); \quad (35)$$

$$\hat{\mathbf{f}}_i = \hat{\mathbf{I}}_i \mathbf{w}_i + \mathbf{v}_i \times \hat{\mathbf{I}}_i \mathbf{u}_i + \hat{\mathbf{f}}_{i+1}, \quad (\hat{\mathbf{f}}_{n+1} = 0); \quad (36)$$

$$\tau_i = \mathbf{d}'_i \hat{\mathbf{f}}_i - k_i s_i. \quad (37)$$

另外,由(37)及(32)式知

$$\begin{aligned} \tau_i + k_i s_i &= \mathbf{d}'_i \sum_{j=i}^n (\hat{\mathbf{I}}_j \mathbf{w}_j + \mathbf{v}_j \times \hat{\mathbf{I}}_j \mathbf{u}_j) \\ &= \sum_{j=i}^n \sum_{k=1}^{10} \mathbf{d}'_i (\mathbf{R}_k \mathbf{w}_k + \mathbf{v}_j \times \mathbf{R}_k \mathbf{u}_j) \hat{a}_k^j. \end{aligned} \quad (38)$$

又由(29)和(28)式知

$$\tau_i + k_i s_i = \sum_{j=1}^n \sum_{k=1}^{10} Y_{ijk}^* \hat{a}_k^j, \quad (39)$$

式中 Y_{ijk}^* 为 $Y^*(\mathbf{q}, \dot{\mathbf{q}}, \ddot{\mathbf{q}}, \ddot{\mathbf{q}}_r)$ 的第 i 行,第 $10(j-1) + k$ 列. 比较(38),(39)式后知

$$Y_{ijk}^* = \begin{cases} 0 & \text{当 } i > j, \\ \mathbf{d}'_i (\mathbf{R}_k \mathbf{w}_j + \mathbf{v}_j \times \mathbf{R}_k \mathbf{u}_j) = \mathbf{d}'_i \hat{\mathbf{f}}_k^j & \text{当 } i \leq j. \end{cases}$$

又由(34)式知 $\mathbf{v}_j - \mathbf{u}_j = \sum_{i=1}^j \mathbf{d}_i \dot{\mathbf{q}}_i - \sum_{i=1}^j \mathbf{d}_i \dot{\mathbf{q}}'_i = \sum_{i=1}^j \mathbf{d}_i s_i \triangleq \mathbf{e}_j$, 故 $Y^* T_s$ 的第 $10(j-1) +$

k 行为 $\sum_{i=1}^n s_i Y_{ijk}^* = \sum_{i=1}^j s_i \mathbf{d}'_i \hat{\mathbf{f}}_k^i = \mathbf{e}'_j \hat{\mathbf{f}}_k^j$. 由此得到计算参数估计规律(30)式的递推算法为:

$$\mathbf{e}_i = \mathbf{v}_i - \mathbf{u}_i; \quad (40)$$

$$\hat{\mathbf{f}}_i^j = \mathbf{R}_j \mathbf{w}_i + \mathbf{v}_i \times \mathbf{R}_j \mathbf{u}_i; \quad (41)$$

$$\hat{a}_i^j = -p_i^j \mathbf{e}'_i \hat{\mathbf{f}}_i^j. \quad (42)$$

将(34)—(37),(40)—(42)式与(21)—(28)式比较即知,本文导出的算法与原算法的差别仅是将(24)式中的 $\frac{1}{2} [(\mathbf{v}_i \times \hat{\mathbf{I}}_i \mathbf{u}_i + \mathbf{u}_i \times \hat{\mathbf{I}}_i \mathbf{v}_i + \hat{\mathbf{I}}_i (\mathbf{u}_i \times \mathbf{v}_i))]$ 简化为(36)式中的 $\mathbf{v}_i \times \hat{\mathbf{I}}_i \mathbf{u}_i$; 将(27)式中的 $\frac{1}{2} [(\mathbf{v}_i \times \mathbf{R}_i \mathbf{u}_i + \mathbf{u}_i \times \mathbf{R}_i \mathbf{v}_i + \mathbf{R}_i (\mathbf{u}_i \times \mathbf{v}_i))]$ 简化为(41)式中的 $\mathbf{v}_i \times \mathbf{R}_i \mathbf{u}_i$. 因原算法中计算量主要在(24)和(27)两式,故本文导出的算法要比文献[5]中算法简单得多.

5、结论

本文用 Spatial Notation 从递推机器人模型(3)和(4)导出一个新的非递推形式的模型(10). 在理论上,新模型的提出纠正了认为传统模型(1)中满足 $\dot{H} - 2C$ 是反对称阵

的 C 是唯一确定的错误概念。在实用上,新模型不仅保持了传统模型最有用的性质,便于分析和设计;更重要的是,使用新模型设计控制方案时可导出更有效的递推控制算法。

参 考 文 献

- [1] Slotine JJE, Li W. On the adaptive control of robot manipulators. *Int. J. Robotics Research*, 1987, 6:49—59.
- [2] Ortega R, Spong MW. Adaptive Motion Control of Rigid Robots: A Tutorial. *Proc. 27th Conf. on Decision and Control*, 1988: 1575—1583.
- [3] Featherstone R. *Robot Dynamics Algorithms*. Kluwer Academic Publisher, Norwell, USA, 1987.
- [4] Walker MW. A unified approach to Manipulator Modelling. *Proc. IEEE Int. Conf. on Robotics and Automation*, 1985: 729—736.
- [5] Niemeyer G, Slotine JJE. Performance in Adaptive Manipulator Control. *Proc 27th Conf. on Decision and Control*, 1988: 1585—1591.

A NEW ROBOT MODEL AND ASSOCIATED CONTROL ALGORITHM

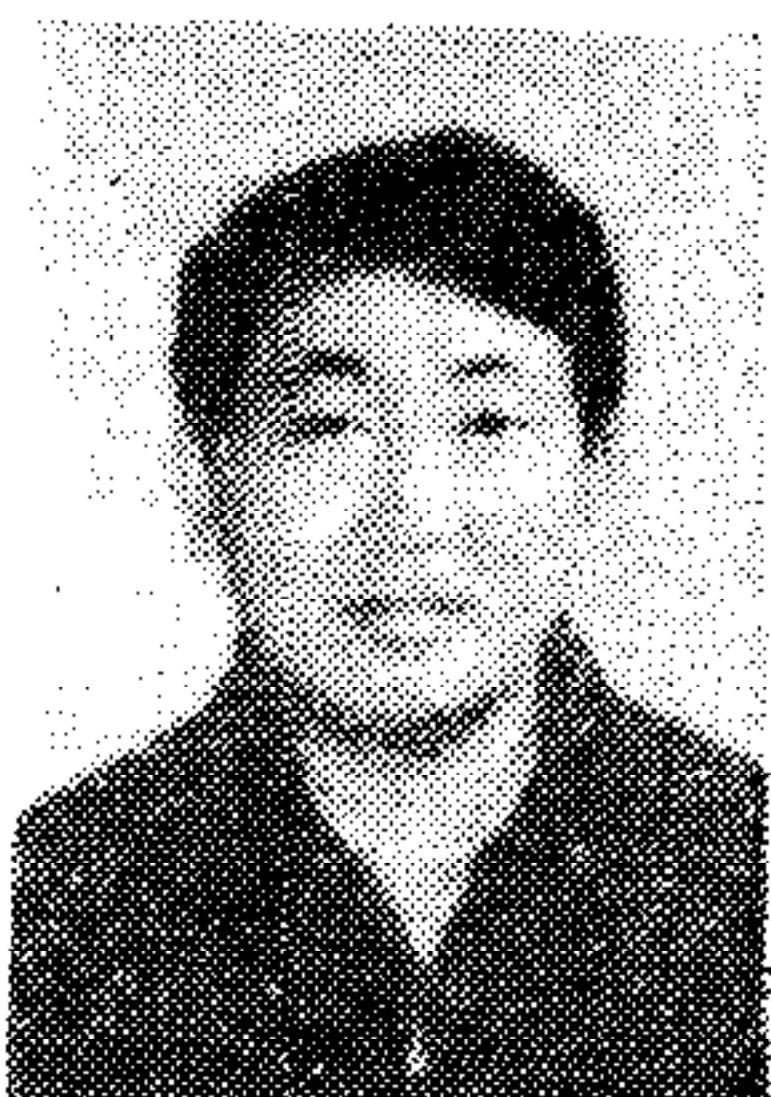
HUO WEI GAO WEIBING CHENG MIAN

(7th Research Division Beijing Univ of Aero. & Astro. Beijing 100083)

ABSTRACT

Robot dynamic model is usually written as $H(q)\ddot{q} + C(q, \dot{q})\dot{q} + G(q) = \tau$, where the matrix C can be properly defined so that $\dot{H} - 2C$ is skew-symmetric. This property greatly facilitates robot controller design. It is believed that such C is uniquely determined. In this paper a new expression for robot the model is derived with the spatial notation developed in recent years, which shows that the matrix C with above property is not uniquely defined. Furthermore, the well-known robot adaptive control strategy proposed by Slotine and Li is taken as an example to demonstrate that replaced the traditional model with the new model presented in this paper, a much more computationally efficient adaptive control algorithm than the existing one can be obtained.

Key words: robot dynamics; robot control; real time control algorithm.



霍 伟 1951 年生于北京市,1977 年于北京航空学院自动控制系毕业后留校任教,1983 年获该校应用数理系自动控制理论及应用专业硕士学位,1990 年获同专业博士学位。1987 年 3 月至 1988 年 4 月曾在美国密执安大学机器人系统部作访问学者。现为北京航空航天大学第七研究室主任、教授。主要研究方向为: 机器人动力学与控制,大系统稳定性与分散控制,用图论方法研究线性系统结构性质,

高为炳,程 勉 简介见本刊第 17 卷第 6 期。